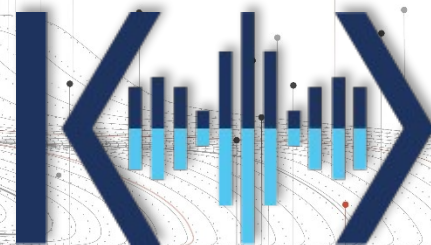


Атака "Trojan Horse" на реальные системы квантового распределения ключей: теоретический и экспериментальный анализ

И.С.Сущев, Д.С.Булавин, К.Е.Бугай, А.С.Сидельникова, Д.А.Дворецкий

**СФБ
ЛАБ**



Квантовое распределение ключей



- Безопасность протокола обеспечивается законами квантовой физики
- Атака на квантовые состояния приводит к их возмущению. Наблюдается рост ошибочных срабатываний

Атаки на техническую реализацию



Побочные каналы

- Trojan Horse
- Backflash
- Радиоизлучение



Навязывание

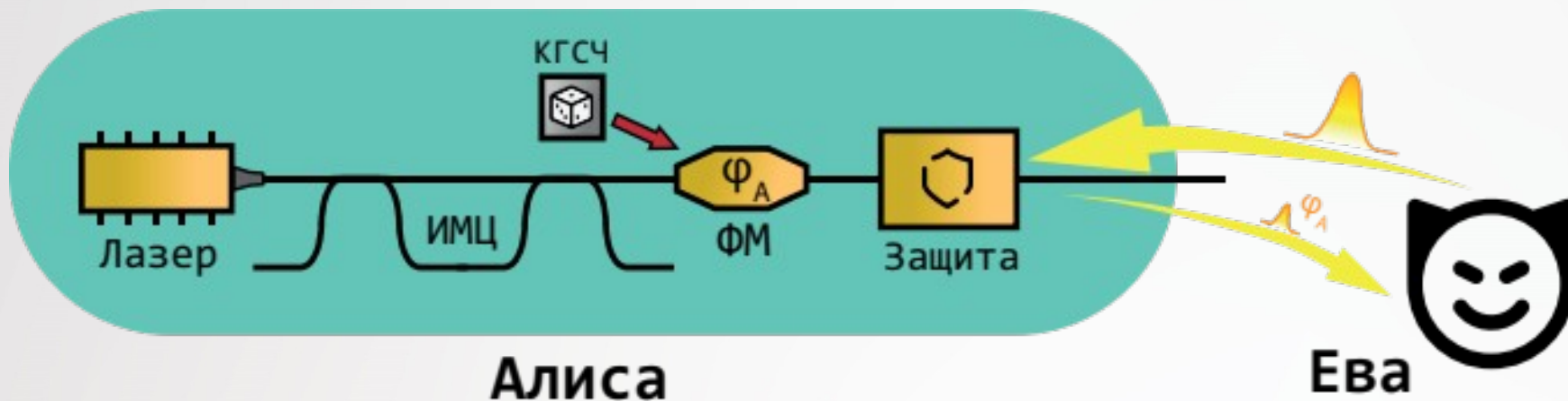
- Detector Blinding
- After-Gate
- Detector Efficiency Mismatch



Изменение свойств системы

- Laser Damage
- Laser Seeding

Атака «Trojan Horse»



- Ева посылает световой импульс высокой мощности внутрь системы КРК
- Импульс претерпевает потери и отражается
- Ева проводит измерения над сигналом в отраженном импульсе со средним числом фотонов

История



Список источников



История



Список источников

- Строгое доказательство секретности при наличии побочных каналов



2020

[Molotkov, 2020]

- Полный экспериментальный анализ атаки
- Применение к реальной системе КРК
- Проведены измерения в области 1100 – 1800 нм (динамический диапазон 120 дБ)
- Предложен способ измерения в области 400 – 2000 нм



2021

[Sushchev, 2021]

- Проведены измерения в областях 700 – 850 нм и 1500 – 2100 нм (динамический диапазон 50 дБ)



2022-2023

[Nasedkin, 2022/23]

- Граница утечки информации при атаке «Trojan Horse» для состояний общего вида

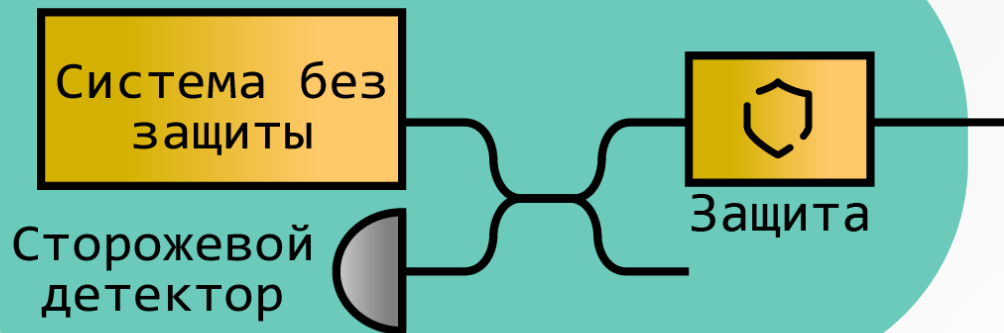


2024

[Sushchev, 2024]

Защита от «Trojan Horse»

Защищенная система



Алиса

Защита понижает уровень отраженного сигнала

Элементы защиты



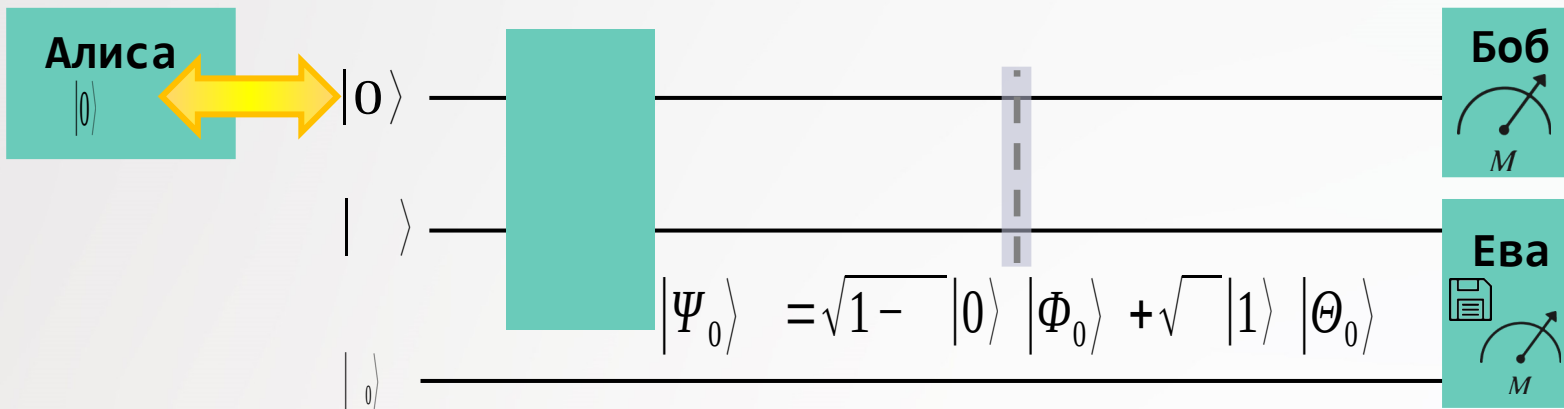
Утечка информации

- Мощность отраженного сигнала можно **измерить** и оценить
- Величину утечки информации можно **вычислить**, зная
- Долю доступной Еве информации можно **свести к нулю** при **усилении секретности**



Длина секретного ключа

Квантовая схема атаки



- В общем случае Ева комбинирует атаку «Trojan Horse» с коллективной атакой

Секретность в условиях атаки (BB84)

- Длина секретного ключа



$$= \frac{1}{2} + \frac{1}{2}$$

Величина Холево

$$= \left(\frac{1}{2} \right) - \sum \left(\frac{1}{4} \right)$$

Энтропия фон Неймана

$$\left(\frac{1}{2} \right) = - \left(\frac{1}{2} \log \frac{1}{2} \right)$$

Информация Евы при атаке



- Известный результат:

Бинарная энтропийная функция Шеннона

$$h(p) = -p \log p - (1-p) \log(1-p)$$

Для оптимальной атаки:



QBER вычисляется при постобработке

Перекрытие (корень из фиделити) между состояниями Евы:



Выражается через ?

Когерентные состояния

- Модельные соображения – Ева использует когерентные состояния (ослабленные лазерные импульсы)

Когерентное состояние

$$| \alpha \rangle = \frac{e^{-|\alpha|^2/2}}{\sqrt{|\alpha|^2}} \sum_{n=0}^{\infty} \frac{|\alpha|^n}{\sqrt{n!}} |n\rangle$$

Поляризационное кодирование

$$= |\langle |0\rangle|^2 =$$

Фазовое кодирование

$$= \sum_{n=0}^{\infty} \frac{(-i)^n}{n!} = e^{-2} i$$

Связь с вероятностью вакуумной компоненты



- Можно ли отказаться от модельных соображений и найти абсолютную границу (зависящую только от)?
- Идея: любые состояния с содержат тождественную вакуумную компоненту с вероятностью

$$= \sum_{=0}^{\infty} = \sum_{=1}^{\infty} \geq \sum_{=1}^{\infty} = 1 - 0$$

- Отсюда получаем:

$$0 \geq 1 -$$

Произвольные чистые состояния

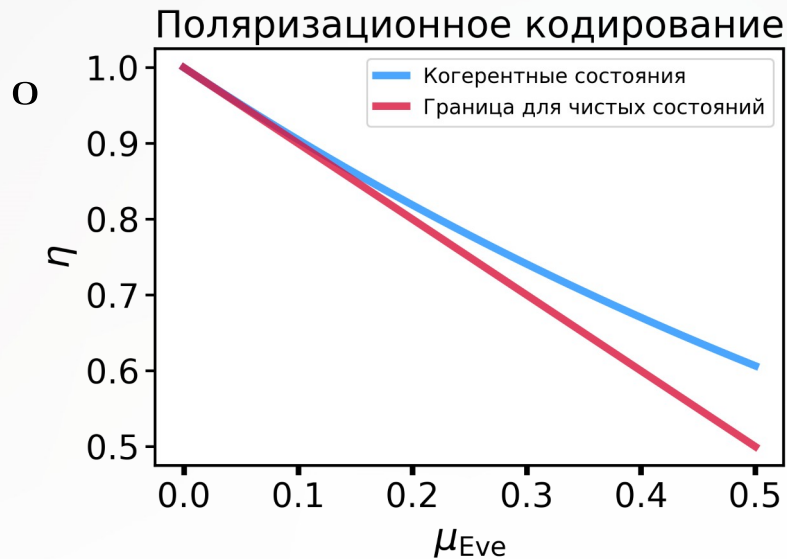
Поляризационное кодирование

$$= \langle \quad | \quad \rangle = | \quad \rangle^2 =$$

Связь перекрытия состояний с
 $\geq 1 -$

Граница достигается, например, на состояниях:

$$\left| \begin{array}{l} \rangle = \sqrt{1 -} \\ \rangle = \sqrt{1 -} \end{array} \right| \quad \left\{ \begin{array}{l} + \sqrt{\quad} |10\rangle \\ + \sqrt{\quad} |01\rangle \end{array} \right\}$$



Произвольные чистые состояния

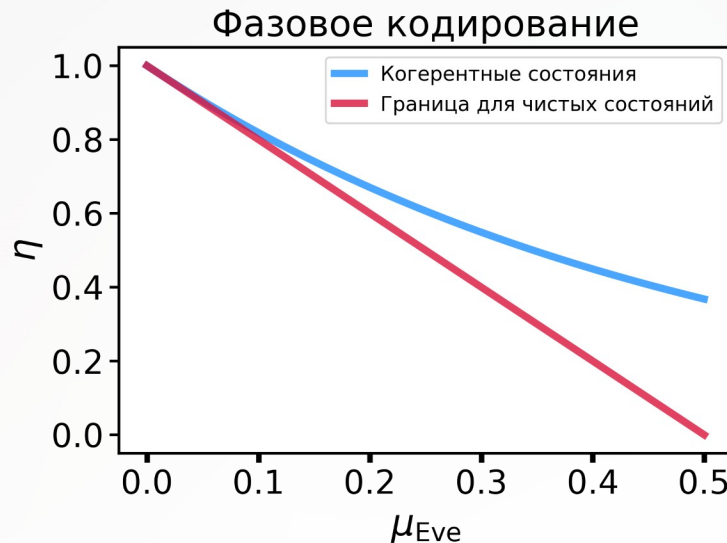
Фазовое кодирование

$$= \langle 0 | 1 \rangle = |0\rangle^2 + |1\rangle^2 + |2\rangle^2 + \dots$$

Связь перекрытия состояний с $\geq 1 - 2$

Граница достигается, например, на состояниях:

$$\begin{aligned} |0\rangle &= \sqrt{1-\mu} |0\rangle + \sqrt{\mu} |1\rangle \\ |1\rangle &= \sqrt{1-\mu} |0\rangle - \sqrt{\mu} |1\rangle \end{aligned}$$



Смешанные состояния Евы

- В общем случае Ева использует смешанные состояния



$$= \rho_0 + \rho_1$$

Неравенство для величины Холево

$$\leq \frac{1}{2} = h\left(\frac{1 - \sqrt{\mathcal{F}}}{2}\right)$$

Roga, Fannes, Życzkowski
Ph Rev Letters 2010, 105, 4

Фиделити смешанных состояний

$$\mathcal{F} = \frac{1}{2} \sqrt{1 + \sqrt{1 - 4\mathcal{F}}} = \frac{1}{2} \sqrt{1 + \sqrt{1 - 4\mathcal{F}}} \geq \left(\right)$$

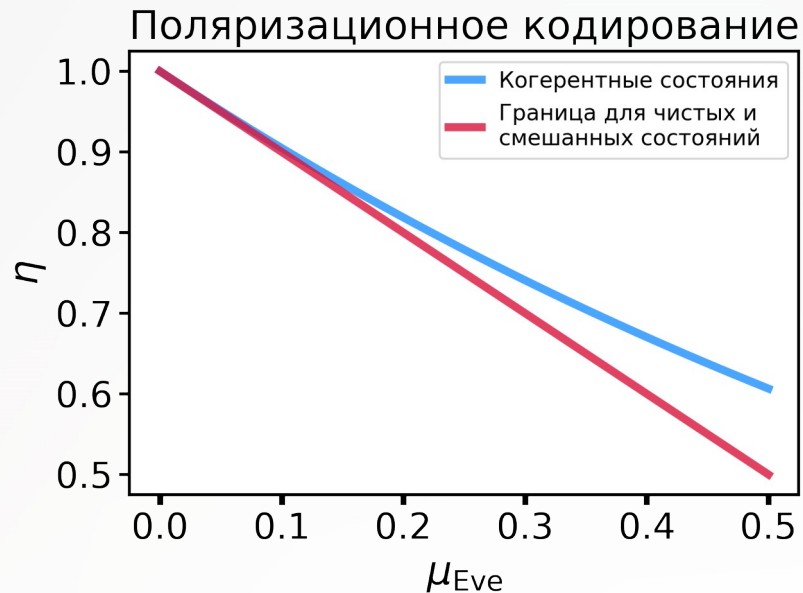
Произвольные смешанные состояния

Поляризационное кодирование

$$\mathcal{F} \geq \left(\begin{array}{c} \end{array} \right) = \frac{2}{0}$$

Результат аналогичен
случаю чистых состояний!

Связь перекрытия состояний с
 $\geq 1 -$



Произвольные смешанные состояния

Фазовое кодирование

$$\mathcal{F} \geq \left(\begin{matrix} 0 & 1 \\ 1 & 0 \end{matrix} \right) \geq \sum_{=0}^{\infty} | \quad |^2 - \sum_{\neq}^{\infty} | \quad |^2 \geq 2 \quad 2 -$$

Результат не совпадает со случаем чистых состояний! При граница недостижима

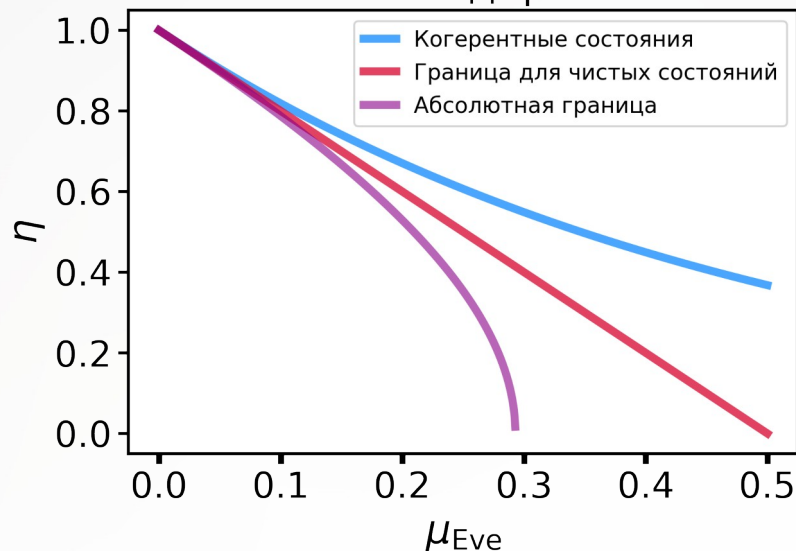
Связь перекрытия состояний с

$$\geq \sqrt{2 \left(1 - \right)^2 - 1}$$

Величина «Purity»

$$\equiv \quad = \sum_{=0}^{\infty} | \quad |^2 = \sum_{=0}^{\infty} | \quad |^2 + \sum_{\neq}^{\infty} | \quad |^2 \leq 1$$

Фазовое кодирование



Анализ защищенности

Для оценки достаточно измерить 3 физических параметра



– мощность при атаке с лазерным повреждением (Laser Damage attack)



σ – величина максимального пика отражения внутри системы



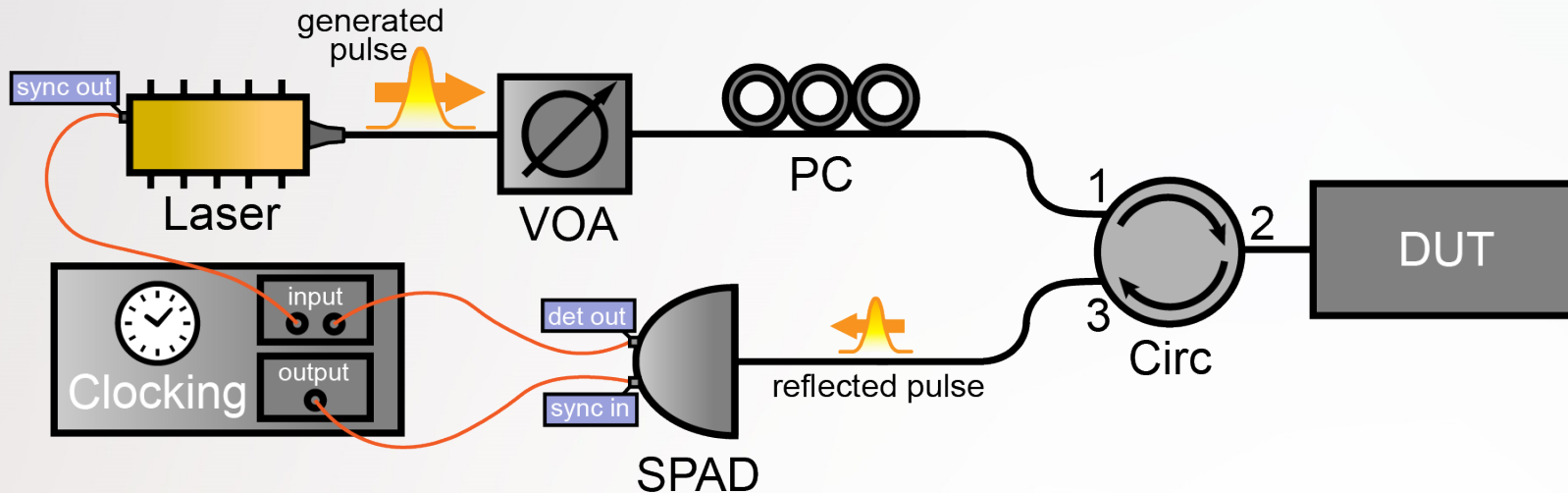
– спектр пропускания элементов защиты

$$(\quad) = \frac{(\quad)}{h}$$

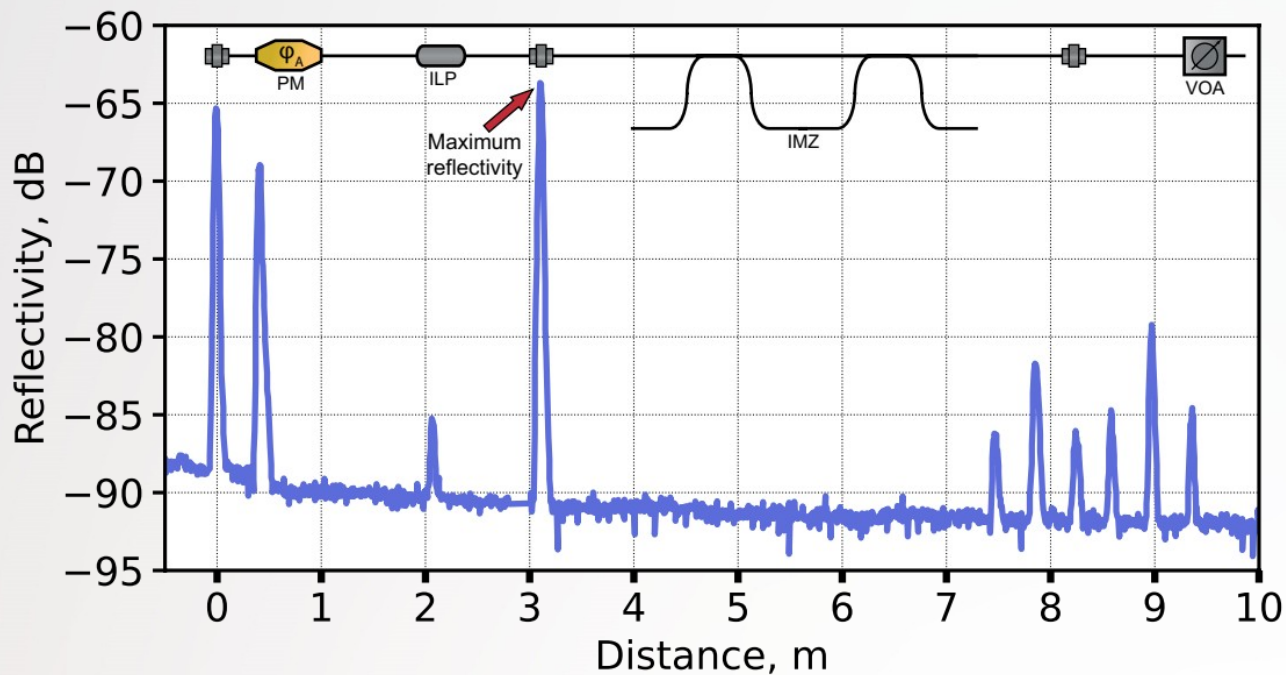
$$[\quad] = [\quad] + [\quad] + [\quad]$$

Рефлектометрия

- Для определения максимального пика отражения проводится **рефлектометрия** системы КРК
- **Рефлектометр** вводит в систему лазерный импульс, засекает время его возврата и измеряет мощность



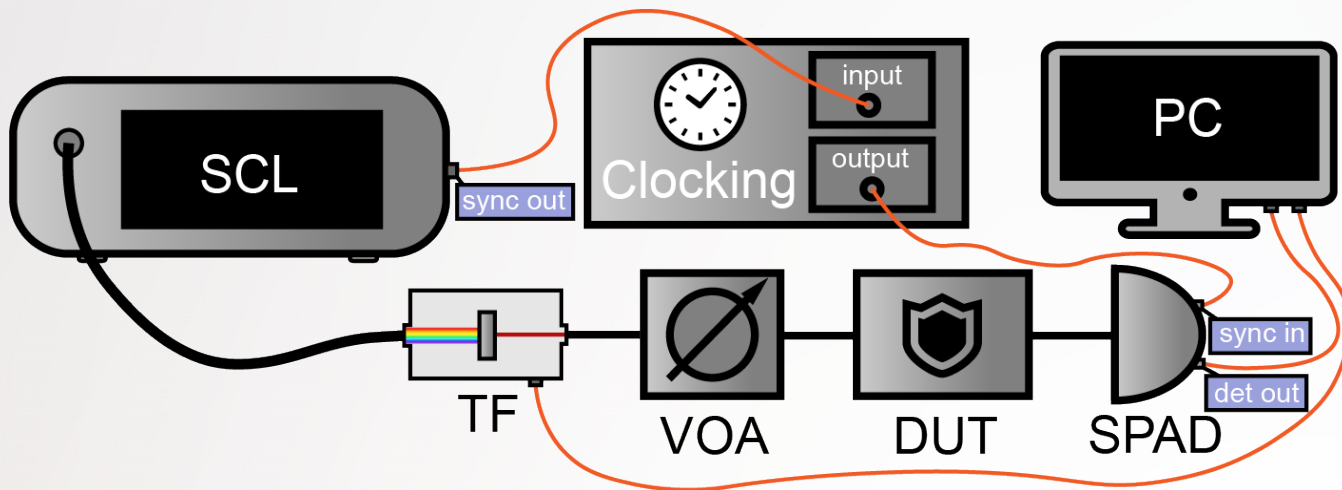
Анализ рефлектограммы



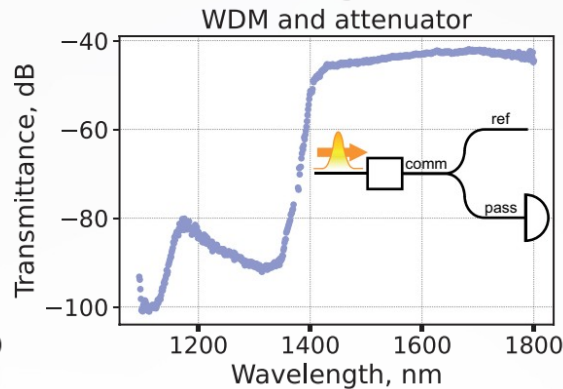
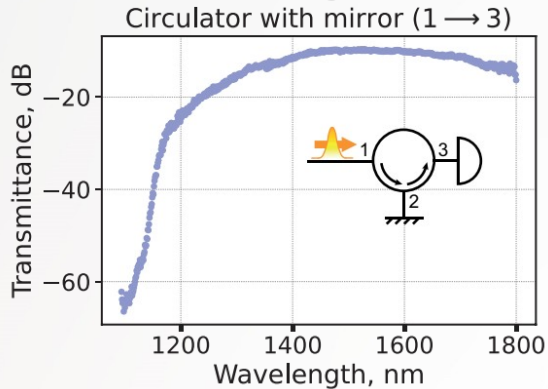
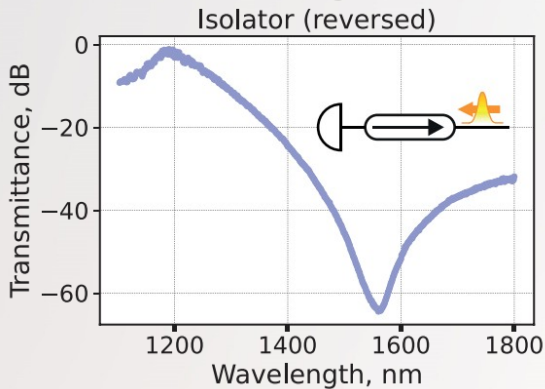
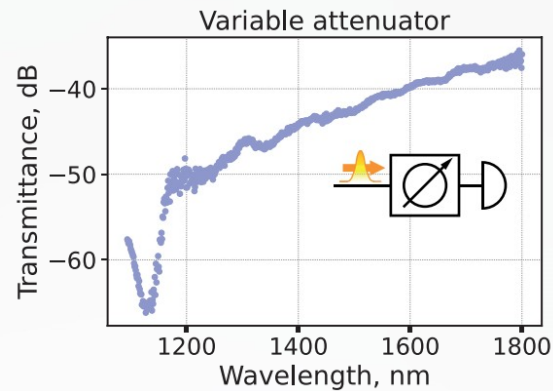
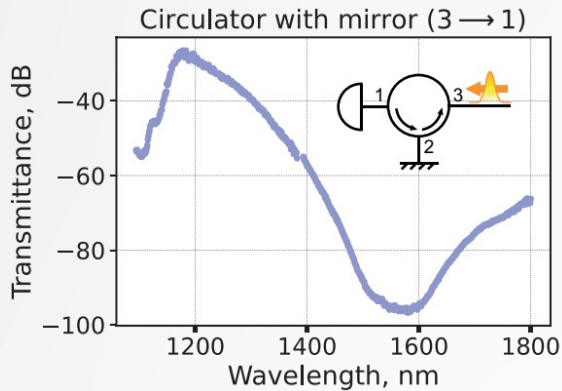
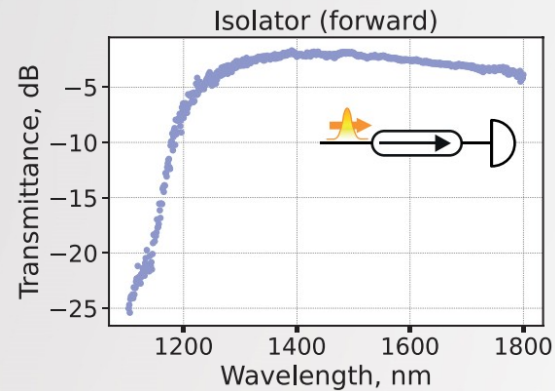
Рефлектограмма – результат рефлектометрии

Измерение спектров пропускания

- Через элементы защиты пропускается излучение **широкополосного лазера** и измеряется его мощность
- **Однофотонный детектор** обеспечивает большой динамический диапазон



Спектры пропускания элементов защиты



Выводы

- Системы КРК могут гарантировать безопасное распределение ключей даже при наличии побочных каналов утечки
- Необходимо **измерять** физические параметры (среднее число фотонов), характеризующие уровень утечки
- Зная уровень утечки, можно **вычислить** долю информации, доступной злоумышленнику
- Сокращение длины секретного ключа при **усилении секретности** позволит свести долю раскрытой информации к **нулю**

Спасибо за внимание!

Инженерно-квантовая лаборатория ООО
«СФБ Лаб»
Ведущий специалист
Иван Сергеевич Суцев



ivan.sushchev@sfblaboratory.ru

**СФБ
ЛАБ**